

## 掃流砂れきの運動機構について

京都大学 工学部	正員	中川 博次
京都大学 文学院	学生員	辻本 邦郎
京都大学 大学院	学生員	宮本 博司
京都大学 大学院	学生員	○細川 勤廣

河床砂れきの掃流機構については従来から多くの研究がなされているが、水流と粒子との間、また運動粒子相互の間の干渉的作用についてはその詳細は明らかではない。本論文は球状粒子を用いて掃流現象に含まれる力学過程を抽象して基礎実験を行って、粒子の運動機構について検討・考察したものである。本研究における計測の多くは  $16\text{ mm}$  カクタ、ダイナミックフレームを用いて行なわれた。

### 《滑面上の単一球状粒子の運動機構》

流体中で運動する粒子の運動は次の式によく記される。  
 $M_d \ddot{\phi} = F d/2 - M_F$  ここで  $M$ : 仮想質量,  $F$ : 摩擦力,  $W$ : 水中重量,  $M_F$ : 転動球に対する水流の抵抗モーメント,  $R$ : 粒子の重心に達する回転2次半径,

$u_g, \omega$ : 粒子の速度および角速度である(図-1参照)。完全転動の場合  $u_g = \omega R/2$  であり、上式より次式が得られる。  
 $\ddot{\phi}_g = \{F + W \sin \alpha - (2/d) M_F\} / \{M(1 + 4R^2/d^2)\}$  ----- (1)

従来の研究では  $M_F$  が無視されており、みかけの摩擦係数またはみかけの抗力係数<sup>1)</sup>が導入されますが、完全転動をしてい3球が床面から受けた摩擦力は垂直抗力に比例しないし、またみかけの抗力係数を評価しても水流による運動粒子の平衡速度を過大(2倍程度)に見積ることになる。さて、 $M_F$  に関する知見はないので、静水中で斜面運動実験により平衡運動速度を測定することによってこれを求めた。  
( $C_D = 0.4$  を採用,  $C_D$ : 抗力係数)。図-2は  $M_F$  と運動速度との関係で、  
Reynolds 数が充分大きい領域では次式の成立することが認められた。

$$M_F = M_F / (A_2 \rho f d^3 (d/2)) = 0.26 (\bar{u}_g / \sqrt{f d})^2 = C_F (\bar{u}_g / \sqrt{f d})^2 \quad \dots \dots (2)$$

さて、 $C_F$  はグリッキンを用いて低 Reynolds 数の実験を参考すると、Reynolds 数に対する変化性状は  $C_D$  のそれと同様であることがわかった。次に、滑面上の流速分布に対する則則を適用し、代表流速を  $U = d/2$  とすると、平衡速度と摩擦速度および運動速度、移動距離の時間的変化はそれぞれ次式で表わされる。

$$\bar{u}_g / U_* = \{ \sqrt{A_2 C_D / 2 A_3} / (\sqrt{C_F} + \sqrt{A_2 C_D / 2 A_3}) \cdot (1/k) \ln (4.52 Re_*) \} \quad \dots \dots (3)$$

$$u_g / \bar{u}_g = (\sqrt{P_*} + \sqrt{F_*}) / [\sqrt{P_*} + \sqrt{F_*} \coth \{ \sqrt{F_*} (\sqrt{P_*} + \sqrt{F_*}) (\bar{u}_g t / d) \}] \quad \dots \dots (4)$$

$$x / d = \{ \ln [ \sqrt{P_* / F_*} \sinh t_* + \cosh t_* ] - \sqrt{P_* / F_*} \ln [ (1 + \tanh(t_*/2)) / (1 - \tanh(t_*/2)) ] \} / (F_* - P_*) \quad \dots \dots (5)$$

ここで、 $A_2, A_3$  は形状係数で、 $Re_* = U_* d / \nu$ ,  $P_* = A_2 C_D / \{ 2 A_3 (0.8 + C_M) (1 + 4R^2/d^2) \}$ ,

$F_* = C_F / \{ (0.7 + C_M) (1 + 4R^2/d^2) \}$ ,  $t_* = \sqrt{P_* / F_*} A_* (U_* t / d)$ ,  $A_* = U_* / U$ ,

$U$ : 代表流速,  $C_M$ : 付加質量係数である。図-3, 4, 5 は、ここに導出された諸式の妥当性を実験によく検証したものである。ここで  $\bar{u}_g$  は Arsoy<sup>2)</sup> の実験であり、 $C_D = 1.0$  とした。

### 《粗面上の単一粒子の運動》

粗面上での粒子の運動は床面との間断ない衝突によく特徴づけられる。球状粒子が、床面の凹凸に沿って運動する場合について

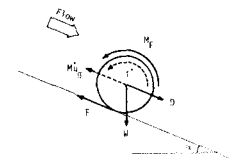


図-1 記号図

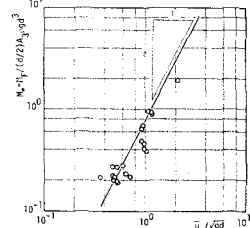


図-2 転動球に対する流体の抵抗モーメント

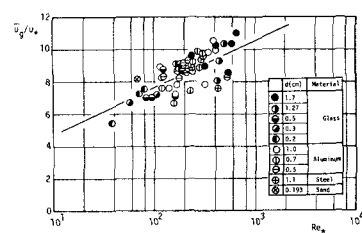


図-3 滑面上の球状粒子の平衡速度

2. まず“斜面での運動方程式”を用いて、図-6を参考に粒子の運動方程式を立て(完全運動)，これから粒径(直径)と粒子位置、θの関係式を求めると、

$$v^2/gd = (\bar{U}_g^2/gd) e^{-2P'_*(\theta-\theta_0)} + \chi(\theta, \theta_0) \dots (6)$$

となる。ただし、

$$\chi(\theta, \theta_0) = \{2B_*(4B_*^2+1)\} \{e^{-2P'_*(\theta-\theta_0)} \cos(\theta_0+\alpha)$$

$$-2P'_* \sin(\theta_0+\alpha)\} - \{\cos(\theta+\alpha) - 2P'_* \sin(\theta+\alpha)\}, \quad B_* = (g/d-1)/(2(\beta+G)(1+B_*^2/d^2)),$$

また  $P'_*$  は  $P_*$  における  $C_D$  を  $C_D + 2A_3 C_F/A_2 d^2$  で置き換えたもの、

添字 \* は初期値である。次に、床面との衝突過程に入りて

運動量保存則を適用すると、衝突の前後の粒子速度の比が

$$\text{求められ、} v' = J_2/J_1 = (\cos\theta + B_*^2/d^2), (1 + B_*^2/d^2), \text{ (図-7 参照)}$$

これと式(6)得られた式と同様式で平衡状態を考へる

$$J_1 = J_2 = U_g \text{ と、平衡速度} \bar{U}_g \text{ は次式で与えられる。}$$

$$J_2/\sqrt{gd} = [2v'^2 \Omega X(\beta, 0) + \chi(\beta, -\beta)]/(1 - 3v'^2 \Omega^2) ]^{1/2} \dots (7)$$

たゞ  $J_2 = U_g e^{-2P'_*/d}$  である。図-8 は上式の実験的検証である。

ところで、水流における運動の場合は、粗度による運動の運動方程式は、 $M(1+B_*^2/d^2) \ddot{\theta} d = W \sin \theta + D \cos \theta - 2M_F/d \dots (8)$  となり、これを図の I → II, II' → III で積分することにより、その間の速度の変化が求められる。さうに II と II' の間の速度の変化は先に得られた  $v'$  によって表わされる。したがって  $v_I = \bar{U}_g = \bar{U}_3$  とおくことにより平衡速度  $\bar{U}_g$  が求められる。なお、I → II の間の速度の関係は、

$$J_2^2 - v_I^2 = W(1 - \cos \beta) + D \sin \beta - 2B_* M_F/d^3 d / M(1 + B_*^2/d^2)$$

であり、II' → III の変化も同様に計算される。結局、平衡速度  $\bar{U}_g$  と底面との距離との関係は次のようになる。

$$J_2^* = \frac{-K_{1,170} \beta A_* \tan \beta + \left[ -2B_* \frac{1 - \cos^2 \beta}{1 + B_*^2/d^2} \frac{1 - \cos^2 \beta}{(1 + B_*^2/d^2)(g/d - 1)} + 2F_* \beta - P_* \sin \beta \right] + K_{1,170} \frac{1 - \cos^2 \beta}{1 + B_*^2/d^2} + 2F_* \beta - P_* \sin \beta}{1 - \cos^2 \beta + 2F_* \beta - P_* \sin \beta}$$

たゞ  $\bar{U}_g^* = \bar{U}_g / \sqrt{(g/d - 1)d}$  である。これを実験値と比較すると、図-10 に示すように多くの実験値の下限付近である。これは、水流による運動では床面の影響や床面の不均一性のために反応が頻繁に起こり、またこの運動速度が激減するので、床面運動過程が出現し難いことによる。しかし、ここで大きな場合では滑面形式の床面では、底流速は零となる。図中の破線はここに準じた平衡速度を示す。しかしながら計算された  $\bar{U}_g$  の摩擦係数 ( $M_F$  と  $C_F$ ) は既に混合の滑面形式に従う。表示である。 $\beta = 0.4 + 0.2$  使用<sup>3)</sup>。

今後、更に運動粘性係数、干渉作用、底面基盤的、滑面等を追加して考慮する。

参考文献 1) *Wu et al.; in Hydrolic Blanks, 1969,* 2) *Aksgaard; Proc. IAHR, 1973.*  
3) *Selman; in. Hydraul Blanks, 1972.*

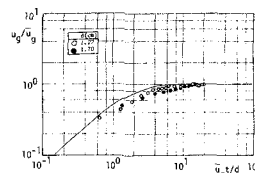


図-4 滑面における運動速度の時間的変化

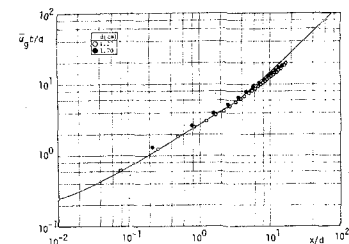


図-5 滑面上の運動距離と時間の関係

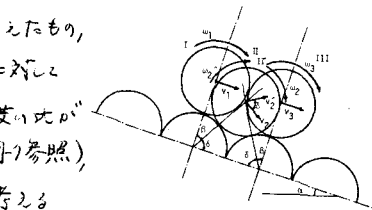


図-6 記号図

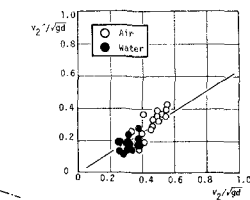


図-7 衝突前の速度の関係

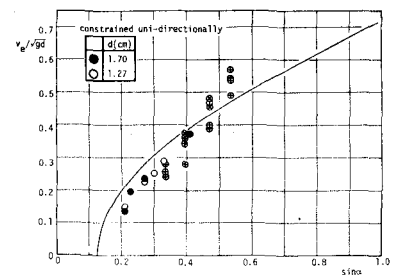


図-8 静水中の斜面運動速度(相面)

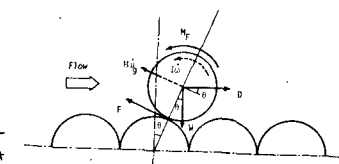


図-9 記号図

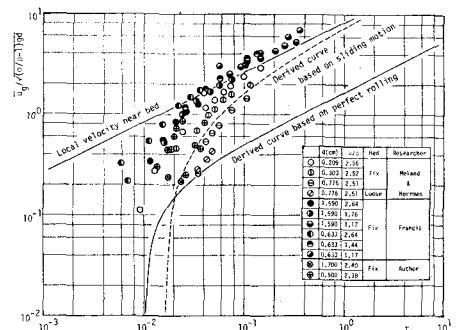


図-10 相面(粗面)上の粒子の平均速度と床面の関係